

# INFORME DE RECURSOS MINERAIS

Série Ouro - Informe Gerais, Nº 08

PROGRAMA NACIONAL DE PROSPECÇÃO DE OURO

**RESULTADOS DA PROSPECÇÃO  
PARA OURO NA ÁREA RS-01  
LAVRAS DO SUL/CAÇAPAVA DO SUL  
SUBÁREA IBARÉ  
RIO GRANDE DO SUL**

Porto Alegre  
2000

 **CPRM**  
Serviço Geológico do Brasil

---

**MINISTÉRIO DE MINAS E ENERGIA**

*Raimundo Brito*  
Ministro de Estado

**SECRETARIA DE MINAS E METALURGIA**

*Giovanni Toniatti*  
Secretário

**COMPANHIA DE PESQUISA DE RECURSOS MINERAIS**

*Carlos Oiti Berbert*  
Diretor-Presidente

**Antonio Juarez Milmann Martins**  
Diretor de Geologia e Recursos Minerais

**Idelmar da Cunha Barbosa**  
Diretor de Hidrologia e Gestão Territorial

**Augusto Wagner Padilha Martins**  
Diretor de Administração e Finanças

**Gil Pereira de Souza Azevedo**  
Diretor de Relações Institucionais e Desenvolvimento

**Mário Farina**  
Chefe do Departamento de Recursos Minerais

---

República Federativa do Brasil  
Ministério de Minas e Energia  
Companhia de Pesquisa de Recursos Minerais  
Diretoria de Geologia e Recursos Minerais  
Departamento de Recursos Minerais

**PROGRAMA NACIONAL DE PROSPECÇÃO DE OURO - PNPO**  
**PROJETO OURO RS/SC**

**RESULTADOS DA PROSPECÇÃO PARA OURO NA ÁREA  
RS-01 - LAVRAS DO SUL/CAÇAPAVA DO SUL,  
SUBÁREA IBARÉ  
RIO GRANDE DO SUL**

*João Angelo Toniolo  
Carlos Alberto Kirchner*

Superintendência Regional de Porto Alegre  
Agosto/2000

---

## EQUIPE TÉCNICA

*Luiz Fernando Fontes de Albuquerque*  
Gerente de Geologia e Recursos Minerais

*Sérgio José Romanini*  
Supervisor de Recursos Minerais

*João Angelo Toniolo*  
Chefe do Projeto

*Luís Edmundo Giffoni*  
Editoração

### PROJETO OURO RS/SC

*Geól. João Angelo Toniolo  
Geól. Carlos Alberto Kirchner  
Téc. Prosp. Edegar dos Santos Dias  
Téc. Prosp. Eraldo Guidugli Machado*

**Digitação**  
*Clériston de Araujo Caimi*

**Cartografia Digital**  
*Téc. Cart. Ademir Evandro Flores*

### Informe de Recursos Minerais Série Ouro - Informes Gerais, nº 08

#### Ficha Catalográfica

T665 Toniolo, João A.

Resultados da prospecção para ouro na área RS-01 - Lavras do Sul/  
Caçapava do Sul, subárea Ibaré - Rio Grande do Sul / João A. Toniolo,  
Carlos A. Kirchner - Porto Alegre : CPRM, 2000.

1 v.; il - (Informe de Recursos Minerais, Série Ouro - Informe Gerais,  
n.º 08)

1. Geologia Econômica: Ouro: Rio Grande do Sul
- I. Kirchner, Carlos A.
- II. Título

CDU 553.411 (81)

## **Apresentação**

---

O Informe de Recursos Minerais objetiva sistematizar e divulgar os resultados das atividades técnicas da CPRM nos campos da geologia econômica, prospecção, pesquisa e economia mineral. Tais resultados são apresentados em diversos tipos de mapas, artigos bibliográficos, relatórios e estudos.

Em função dos temas abordados são distinguidas oito séries de publicações, abaixo relacionadas, cujas listagens são apresentadas ao fim deste Informe:

- 1) Série Metais do Grupo da Platina e Associados;**
- 2) Série Mapas Temáticos do Ouro, escala 1:250.000;**
- 3) Série Ouro - Informes Gerais;**
- 4) Série Insumos Minerais para Agricultura;**
- 5) Série Pedras Preciosas;**
- 6) Série Economia Mineral;**
- 7) Série Oportunidades Minerais - Exame Atualizado de Projetos;**
- 8) Série Diversos.**

A aquisição de exemplares deste Informe poderá ser efetuada diretamente na Superintendência Regional de Porto Alegre ou na Divisão de Documentação Técnica, no Rio de Janeiro. Os endereços e e-mails correspondentes estão listados na contracapa.

## **Sumário**

---

|  |           |
|--|-----------|
| <b>1 - INTRODUÇÃO .....</b>  | <b>1</b>  |
| <b>2 - ASPECTOS GEOLÓGICOS E METALOGENÉTICOS DA ÁREA RS-01 - LAVRAS DO SUL/CAÇAPAVA DO SUL .....</b> | <b>4</b>  |
| <b>3 - TRABALHOS EXECUTADOS - METODOLOGIA .....</b>  | <b>6</b>  |
| <b>4 - SUBÁREA IBARÉ .....</b>   | <b>8</b>  |
| <b>4.1 - Introdução .....</b>  | <b>8</b>  |
| <b>4.2 - Localização e acesso .....</b>  | <b>8</b>  |
| <b>4.3 - Geologia .....</b>  | <b>8</b>  |
| <b>4.4 - Prospecção geoquímica .....</b>   | <b>9</b>  |
| <b>4.5 - Recomendações .....</b>   | <b>9</b>  |
| <b>5 - REFERÊNCIAS BIBLIOGRÁFICAS .....</b>  | <b>11</b> |

## **ANEXOS**

- I - Mapa de Afloramentos - Escala 1:50.000**
- II - Mapa de Ambiência Geológica - Escala 1:50.000**
- III - Mapa Geoquímico - Escala 1:50.000**

## **1 - Introdução**

---

O Programa Nacional de Prospecção de Ouro (PNPO), iniciado em fevereiro de 1992, vem sendo desenvolvido pela CPRM - Serviço Geológico do Brasil - em todo o território nacional, objetivando definir a potencialidade geológico-econômica do ouro e estimular o descobrimento de novas jazidas, contribuindo para o incremento da produção nacional de ouro primário mediante a disponibilização, à iniciativa privada, de um elenco de mapas especializados e de um banco de dados informatizado.

Para o ordenamento operacional, as atividades do Programa foram desenvolvidas em duas etapas: 1) Pesquisa bibliográfica e mapas temáticos; e 2) Seleção e prospecção de subáreas.

Na primeira, foi feita uma extensa pesquisa bibliográfica que propiciou a coleta de todas as informações disponíveis acerca da geologia econômica, prospecção e pesquisa de ouro em áreas pré-selecionadas, de reconhecida potencialidade aurífera.

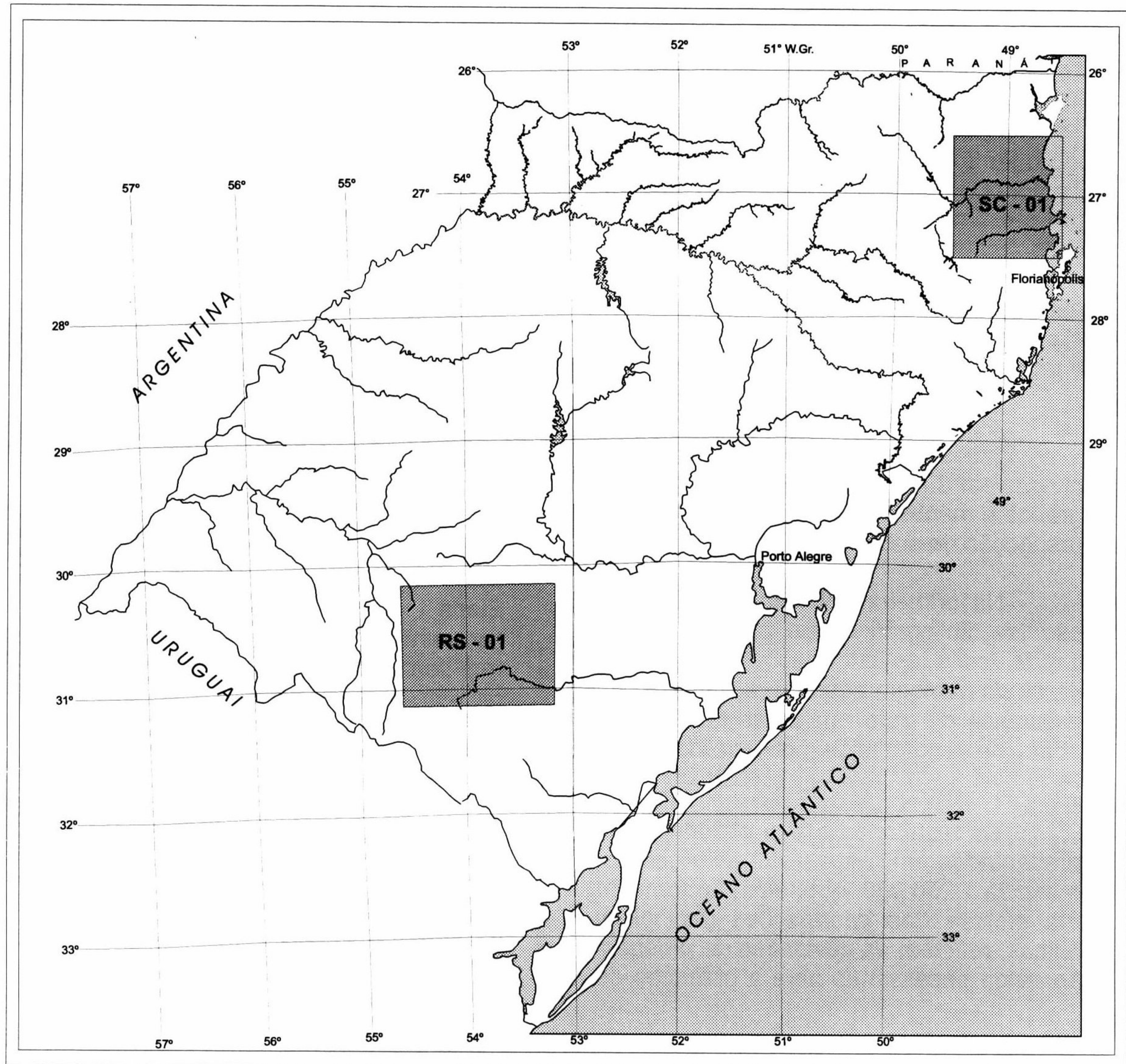
Os resultados assim obtidos foram apresentados em mapas auto-explicativos, na escala 1:250.000, que, além de fornecer uma síntese das informações geológicas básicas, refletem as atividades de prospecção ainda necessárias para a obtenção de

conhecimento homogêneo em ambientes determinados. Tais mapas compreendem as bases temáticas de Jazimentos Auríferos e de Índices de Gitologia Quantitativa (IGQ), de Prospectividade Prévia (IPP) e de Prospectividade Demandada (IPD).

Nesta etapa, duas áreas foram selecionadas para estudos sob a ótica metodológica do PNPO na região de atuação da Sureg-PA, uma no estado do Rio Grande do Sul, Área RS-01 - Lavras do Sul/Caçapava do Sul, e outra no estado de Santa Catarina, Área SC-01 - Botuverá/Brusque/Gaspar (Figura 1).

A Etapa II do Programa compreendeu a seleção de subáreas, identificadas pelos maiores valores de IPD, definidos na Etapa I, em ambientes com notória vocação aurífera. Nestas subáreas desenvolveram-se campanhas prospectivas que incluíram o reconhecimento geológico e a amostragem geoquímica a nível de semi-detalhe.

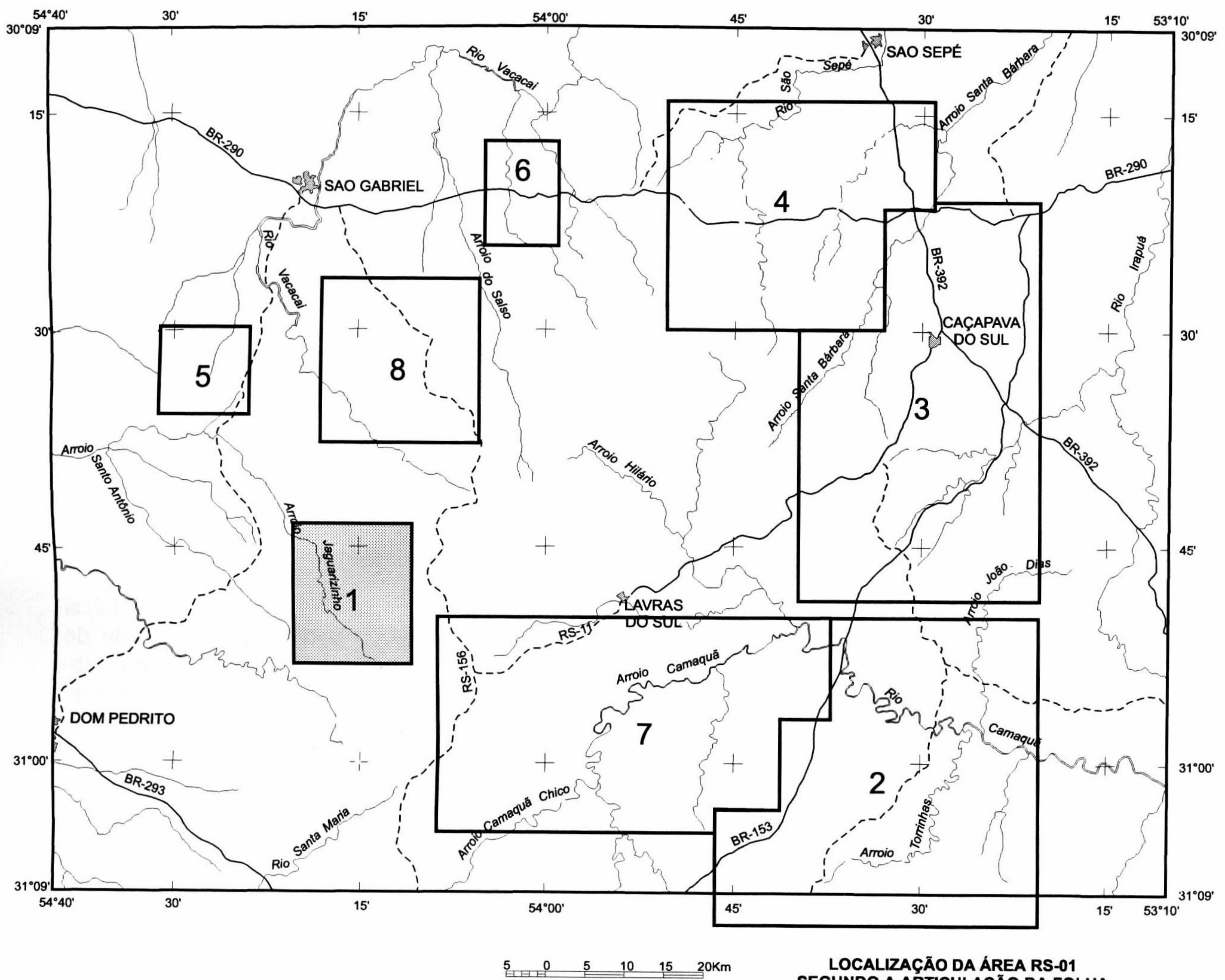
No âmbito da área RS-01 foram delimitadas oito subáreas para a Etapa II do Programa, denominadas de Ibaré, Minas do Camaquã, Caçapava do Sul, Passo do Salsinho, Batovi, Marmeiro, Cambaizinho e Bossoroca (Figura 2).



**SC - 01** Área Botuverá - Brusque - Gaspar

**RS - 01** Área Lavras do Sul - Caçapava do Sul

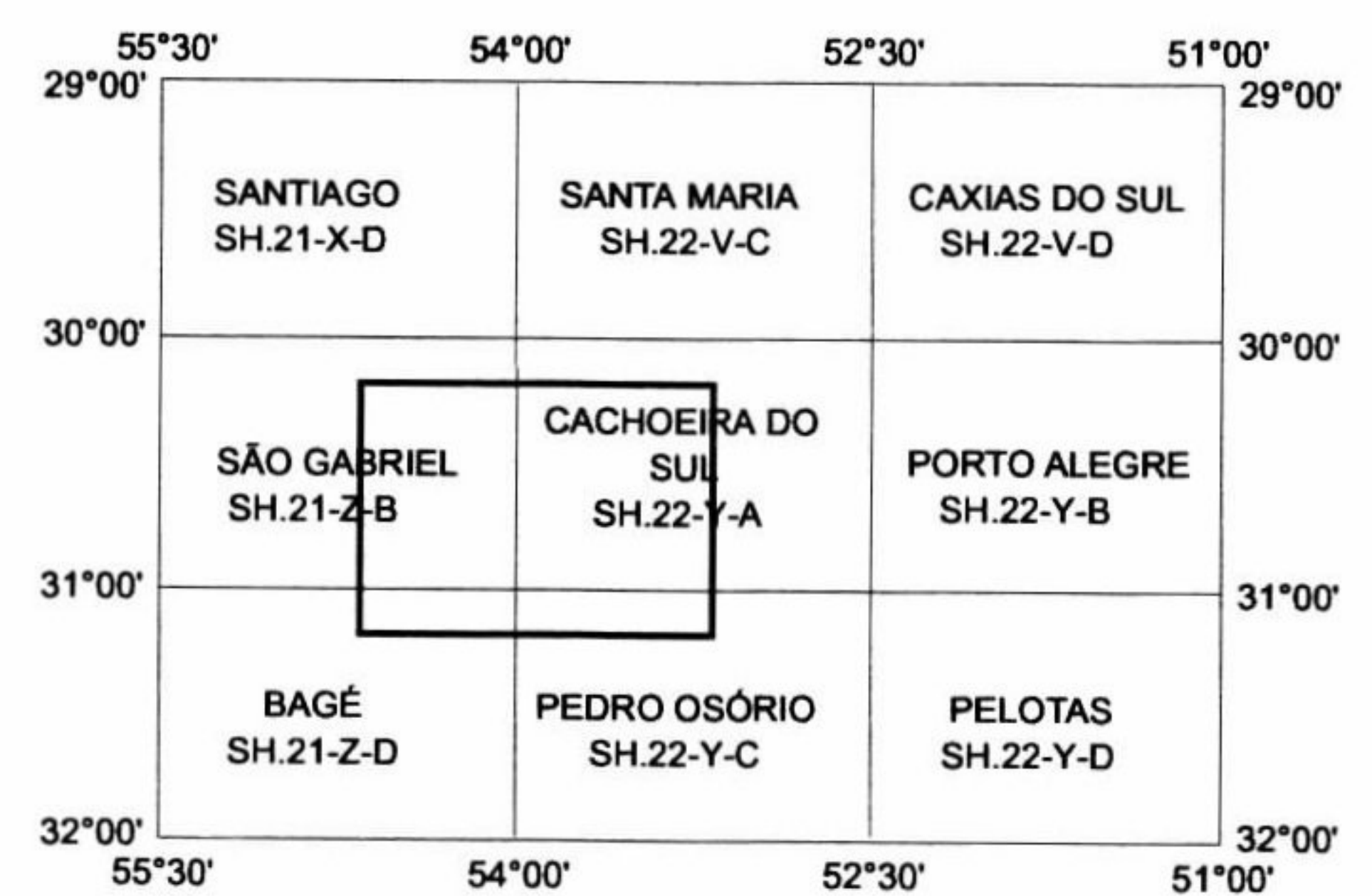
**Figura 1** - Localização das áreas trabalhadas na I Etapa do PNPO  
no âmbito da jurisdição da SUREG-PA



**LOCALIZAÇÃO DA ÁREA RS-01  
SEGUNDO A ARTICULAÇÃO DA FOLHA**

## SUBÁREAS

- |                       |                  |
|-----------------------|------------------|
| 1 - Ibaré             | 5 - Batovi       |
| 2 - Minas do Camaquã  | 6 - Cambaizinho  |
| 3 - Caçapava do Sul   | 7 - Marmeiro     |
| 4 - Passo do Salsinho | 8 - Passo do Ivo |



**Figura 2 - Subáreas selecionadas para a II Etapa do PNPO no âmbito da Área RS-01.**

## 2 - Aspectos Geológicos e Metalogenéticos da Área RS-01 - Lavras do Sul/Caçapava do Sul

---

A partir dos mapas elaborados na primeira etapa observa-se que os principais jazimentos auríferos, que foram alvos de algum tipo de exploração na Área RS-01 - Lavras do Sul/Caçapava do Sul, ocorrem associados indistintamente a seqüências metavulcano-sedimentares, intrusivas ácidas alcalinas e seqüências sedimentares.

Nas seqüências metavulcano-sedimentares os jazimentos explotados ocorrem basicamente na forma de veios de quartzo, com textura disseminada e paragênese dominante à base de quartzo, ouro, pirita, arsenopirita, calcopirita e, em escala subordinada, esfalerita, galena e hematita. Os veios de quartzo mineralizados dispõem-se concordantes ou discordantes à foliação das litologias encaixantes e apresentam atitudes variáveis, estando comumente associados a zonas de cisalhamento com direção predominantemente NE, como por exemplo nas Minas Bossoroca e Cerrito do Ouro. As encaixantes destes veios são metatufo e metavulcanoclásticas de composição intermediária.

Outras mineralizações de ouro, associadas a formações ferríferas, metacherts, metatufo, quartzo-pórfiros e dionitos, apresentam também paragêneses à base de sulfetos, principalmente pirita, em zonas hidrotermalizadas, com ou sem vénulas de quartzo.

Estas últimas ocorrências, exceto em formações ferríferas, são observadas principalmente nas rochas da seqüência metavulcano-sedimentar da Palma, onde foram ou são esporadicamente objetos de alguma exploração, principalmente nas partes elúvio-coluvionares.

Nas rochas intrusivas ácidas alcalinas do tipo Granito Lavras do Sul, as mineralizações auríferas ocorrem como filões em veios de quartzo e disseminadas em hidrotermalitos, controladas por falhamentos em torno da direção EW, com intensa cataclase e brechação. No Granito Lavras

do Sul existem cerca de 670 escavações derivadas da exploração rudimentar do ouro. Ocorrem na sua maioria em rochas graníticas onde a paragênese mineral dos veios de quartzo e hidrotermalitos é pirita, arsenopirita, ouro, raros anfibólitos, calcita, molibdenita, galena e esfalerita, associados com alterações hidrotermais de feldspatização, sericitização, piritização e carbonatação. Ocorrências auríferas são observadas também em vulcânicas andesíticas intrudidas por granitos, onde veios de quartzo com pirita, calcopirita, arsenopirita, calcosina, bornita, azurita, malaquita e ouro, além de calcita, anfibólito, galena e esfalerita, estão associados com alterações hidrotermais de propilitização, sericitização, carbonatação e silicificação.

As Minas do Camaquã, a principal e maior mina de cobre do Rio Grande do Sul, que tem o ouro e a prata como subprodutos, constitui o principal jazimento aurífero hospedado em uma seqüência sedimentar. O minério ocorre preenchendo falhas com direções em torno de EW, formando filões maciços ou massas irregulares e disseminadas nos conglomerados e arenitos arcoseanos, ou ao longo dos planos de estratificação. A paragênese mineral é à base de calcopirita, bornita, calcosina, pirita e hematita, malaquita, azurita, barita, calcita e quartzo. Segundo Reischl *et al.* (1988), o ouro ocorre livre, como inclusões de micropepitais na calcopirita e hematita, e para Lima (1998) o ouro e a prata ocorrem como elementos traços nos sulfetos.

Remus *et al.* (1998), estudando os isótopos de S e de Pb do minério das Minas do Camaquã (pirita, calcopirita, bornita), de Santa Maria (galena, esfalerita), do Granito Lavras do Sul (rocha total) e do Depósito Butiá (pirita), este na borda oeste daquele granito, concluíram que a fonte do enxofre é magmática e correlacionaram esta fonte com a granitogênese de filiação alcalina tipo Granito Lavras do Sul.

As informações obtidas pelo projeto, somadas aos trabalhos desenvolvidos por pesquisadores de universidades do Rio Grande do Sul, nos levam a uma simplificação para dois processos de geração das mineralizações auríferas encontradas no Escudo Sul-Rio-Grandense:

- mineralizações que foram geradas ou envolvidas nos processos metamórficos regionais de idade neoproterozóica, representadas por veios de quartzo auríferos, como exemplo, as Minas Bossoroca e Cerrito do Ouro; e
- mineralizações cupro-auríferas com morfologias filoneanas, irregulares e estratiformes, texturas disseminadas e maciças, com paragênese de quartzo (por vezes bandado com drusas), barita, minerais de Cu, hematita, galena, pirita e calcita, hospedadas em encaixantes diversas, tais

como rochas metavulcano-sedimentares, gnaisses, andesitos, riolitos, siltitos, arenitos e conglomerados, mais antigas que o mag-matismo alcalino tipo Granito Lavras do Sul, de idade eopaleozóica. De acordo com as informações existentes, os fluidos mineralizantes, derivados das rochas graníticas, percolaram fraturas de direções NW e EW, consideradas como tensionais quando daquele evento magmático. Destacam-se neste tipo as mineralizações das Minas do Camaquã (cobre e ouro como subproduto) e as dezenas de ocorrências (com algum tipo de exploração) de Lavras do Sul, nestas tendo o ouro como minério principal.

Enquadram-se ainda neste tipo as dezenas de ocorrências de cobre e/ou chumbo e/ou barita (grande número sem análises para ouro) distribuídas no Escudo Sul-Rio-Grandense, que são indicadas nos mapas geológicos das áreas estudadas.

### **3 - Trabalhos Executados - Metodologia**

---

As atividades de campo da segunda etapa (reconhecimento geológico e prospecção geoquímica) foram realizadas no decorrer do ano de 1997.

O reconhecimento geológico resultou na descrição de 155 afloramentos e consistiu basicamente na procura de litologias como hidrotermalitos, rochas exóticas definidoras de ambientes e potencialmente armazenadoras de ouro. Este reconhecimento foi realizado primeiramente através das estradas, e depois com caminhamentos ao longo das drenagens.

Os trabalhos executados nas áreas selecionadas foram de intensidades diversas, em função da pequena disponibilidade de recursos financeiros. Algumas vezes, optou-se por manter duas equipes de prospecção geoquímica em atividade de coleta de amostras, em detrimento da atividade de reconhecimento geológico; isto objetivou abranger áreas maiores com novos dados analíticos para ouro e seus farejadores, fornecendo às empresas de mineração, informações homogêneas de prospecção geoquímica, desde a amostragem até a análise química.

O levantamento geoquímico regional para ouro nas oito áreas selecionadas resultou na coleta de 818 amostras de sedimentos de corrente e 715 amostras de concentrados de minerais pesados do material aluvionar. Todas as amostras de sedimentos de corrente foram analisadas, enquanto que, do total das amostras de concentrados de minerais pesados coletadas, 162 não foram analisadas por insuficiência de material.

A metodologia de amostragem estabeleceu que as estações de coleta de amostras fossem localizadas preferencialmente na desembocadura das drenagens de 1<sup>a</sup> ou 2<sup>a</sup> ordem, associadas principalmente a contextos vulcão-sedimentares. Esta sistemática objetivou diminuir a diluição das amostras por materiais estéreis, o que dificultaria a identificação das anomalias verdadeiras. Para facilitar os procedimentos de campo, em cada local de amos-

tragem foram coletadas amostras de sedimentos de corrente e concentrados de minerais pesados (volume bateado de 20 l). Procurou-se selecionar locais com características hidrológicas semelhantes, visando diminuir a variabilidade amostral, especialmente para os concentrados de minerais pesados.

Obedeceu-se à seguinte rotina, para a preparação e análise para ouro dos dois materiais amostrados: sedimentos de corrente - peneiramento a -120 mesh, pulverização em laboratório a -200 mesh, decomposição por fusão, análise por plasma (ICP); e concentrados de minerais pesados - pulverização em laboratório a -200 mesh, decomposição por fusão, análise por absorção atômica.

Deve ser salientado que apenas o ouro foi objeto de análise química em ambas amostras, não sendo analisados os seus elementos farejadores (As, Sb, Ag, Cu, Pb, Zn, Fe, Mn) devido a problemas laboratoriais.

Todas as análises químicas do material aluvionar foram de responsabilidade do laboratório da CPRM no Rio de Janeiro (LAMIN), enquanto que as análises mineralógicas dos concentrados ficaram a cargo do laboratório da Sureg-PA.

Para a interpretação, os dados analíticos derivados dos concentrados de minerais pesados sofreram correção, em função do volume da amostra original (20 l) e do peso do material não-magnético concentrado. Este último fator é muito variável, devido a diferenças nos conteúdos de minerais pesados das litologias, condições deposicionais no leito da drenagem e habilidade do bateador. Os resultados expressos dessa forma definem mais precisamente as amostras anômalas para ouro no ambiente superficial.

Os resultados analíticos para ouro dos sedimentos de corrente e concentrados de minerais pesados, bem como a quantidade de pintas de ouro presentes nas amostras, foram submetidos ao tratamento estatístico através de um software específico.

co (PROBPLOT). Este programa gerou os gráficos de probabilidade para cada meio amostral em cada área trabalhada, bem como definiu as características de distribuição de freqüência da população investigada, permitindo calcular o limiar da população de *background*, ou limiares das diferentes populações, no caso da presença, entre os dados, de mais de uma população.

Cabe destacar, que para os estudos geoquímicos foi incorporado, às amostras inicialmente citadas, um lote com 263 amostras de sedimentos de corrente e 315 amostras de concentrados de bateia, até então armazenadas na Superintendência Regional de Porto Alegre e sem nenhum tipo de análise laboratorial. Referem-se a amostras de projetos realizados anteriormente no âmbito das áreas trabalhadas, coletadas pelas mesmas equipes de prospecção que atuaram no Projeto Ouro

RS/SC. Os critérios de amostragem e preparo laboratorial das mesmas foram idênticos àqueles utilizados para as amostras coletadas na fase de campo do Projeto em pauta, garantindo, desta forma, confiabilidade e representatividade das interpretações dos resultados globais obtidos.

Salienta-se que, a despeito de estarem disponíveis, vários dados analíticos para ouro obtidos através de sedimentos ativos de corrente e/ou concentrados de minerais pesados, provenientes de trabalhos em áreas com requerimentos de pesquisa no DNPM, e de determinados projetos institucionais, foram desconsiderados para fins interpretativos. Estes dados foram gerados por processos diferentes de amostragem e análise, deixando clara a necessidade de padronização dos procedimentos geoquímicos, para obtenção de dados passíveis de interpretação.

## 4 - Subárea Ibaré

### 4.1 – Introdução

Os trabalhos executados na subárea Ibaré consistiram no reconhecimento geológico (**Anexos I e II**) e na prospecção geoquímica (**Anexo III**), esta última visando a identificação de bacias de drenagem anômalas para ouro através da amostragem de materiais aluvionares. Tais atividades foram direcionadas prioritariamente para os terrenos no âmbito das seqüências Bela Vista e Corticeira, e nas suas zonas de contato com os granitos Santa Rita e Jaguari, que lhes são intrusivos. Esses segmentos são julgados os mais promissores para ocorrência de ouro nesta subárea em função da natureza de suas rochas, unidades vulcana-sedimentares, deformadas e metamorfisadas, afetadas por um magmatismo ácido subsequente. Esse contexto abre perspectivas quanto a ocorrências primárias de ouro, tanto associadas à evolução da pilha vulcana-sedimentar (vulcanogênicas), como provenientes de remobilizações, seja devido ao metamorfismo e/ou a colocação dos corpos ácidos (epigenéticas). Neste sentido, é relevante a existência de mineralizações primárias associadas a seqüências análogas em outras partes da área RS-01, como os Complexos Bossoroca, Passo Feio e Palma, também marcadas por vários registros indiretos de ouro em sedimentos de corrente, evidenciando a sua potencialidade. Os valores do Índice de Prospectividade Demandada (IPD) nos terrenos citados não se caracterizam como os mais elevados dentre os vários tipos gitológicos definidos na área RS-01. Entretanto, o conhecimento geológico escasso dessa região, aliado à notória vocação aurífera de unidades focalizadas, levaram à execução dos trabalhos nessa porção da subárea Ibaré.

### 4.2 – Localização e acesso

A subárea Ibaré situa-se na porção oeste da Área RS-01 - Lavras do Sul/Caçapava do Sul, sendo delimitada pelas coordenadas geográficas  $30^{\circ} 43' 20''$  e  $30^{\circ} 53' 00''$  de latitude Sul e  $54^{\circ} 10' 00''$  e  $54^{\circ} 20' 30''$  de longitude Oeste de Greenwich (**Figura 2**).

A subárea é cortada por rodovias não pavimentadas e por uma estrada de ferro, que a atravessa longitudinalmente, passando pela localidade de Ibaré, seu mais importante núcleo urbano.

O principal meio de acesso à subárea é através de uma rodovia municipal, não pavimentada, que passa pelo núcleo de Ibaré e faz a ligação da rodovia estadual RS-156 (São Gabriel – Bagé), a leste de seus limites, à sua malha de estradas vicinais.

A cidade de Lavras do Sul, a leste, é a mais próxima da subárea, distando de Porto Alegre aproximadamente 300 km. Dispõe de infraestrutura para apoio das atividades de campo.

### 4.3 - Geologia

A seqüência metavulcana-sedimentar da subárea Ibaré está situada na porção ocidental do Escudo Sul-Rio-Grandense, localizada numa feição estrutural constituída por uma faixa de lineamentos paralelos e subparalelos de direção NW-SE, com extensão em torno de 70 km, denominada de Lineamento Ibaré. Este lineamento limita dois blocos, redefinidos por Naumann *et al.* (1984) como Bloco Taquarembó, constituído pelos gnaisses básicos e quartzo-feldspáticos do Complexo Granulítico Santa Maria Chico, e Bloco São Gabriel, do qual fazem parte litologias pertinentes às Seqüências Bela Vista e Corticeira. Deve-se a Nauman *et al.* (1984) a caracterização dessas unidades na região em pauta, que as reuniu sob a designação de Complexo Ibaré.

A Seqüência Bela Vista comprehende metarcósios, metagrauvacas, metarrimitos, metapelitos, metabasitos, metandensitos, calcissilicáticas, além de hidrotremalitos, representados por mármores e clorititos. A Seqüência Corticeira caracteriza-se pelo predomínio de serpentinitos com quantidades subordinadas de xistos magnesianos, cornubianitos máficos, rodingitos, clorititos e turmalinitos.

O metamorfismo, associado a um regime tectônico dúctil-frágil regional, atingiu a zona da clorita da fácie xisto verde e é concomitante à primeira deformação, responsável pela geração da foliação principal, esta dobrada subsequentemente por mais duas deformações. Localmente, ocorre o desenvolvimento de metamorfismo de contato até a fácie hornblenda-cornubianito, gerado pela intrusão de corpos ácidos na área representados pelos granitos Timbaúva, Jaguari e Santa Rita.

**Estudos petroquímicos** realizados por Naumann (1985), demonstram que as metagrauvacas e metarrítmitos da Seqüência Bela Vista possuem filiação vulcanogênica, enquanto, as rochas ultramáficas da Seqüência Corticeira, afinidades komatiíticas. Neste sentido, com base nos dados apurados, o autor sugeriu para o Complexo Ibaré uma evolução geológica compatível com um *greenstone belt*.

No que tange especialmente aos metatufo, expressivos na unidade, eles possuem composição andesítica, freqüentemente, com fenocristais submilimétricos euédricos de quartzo, feldspatos e hornblenda (metatufo a cristal). Apresentam characteristicamente pirita fina disseminada ou em lâminas paralelas ao bandeamento, se bem que essas também ocorrem associadas a rochas metassedimentares, porém em menor quantidade. No campo, os metatufo evidenciam a preservação de acamamento  $S_0$  (gradacional), que ocorre estruturado ritmicamente, que, entretanto, é freqüentemente mascarado por uma foliação penetrativa ( $S_1$ ) nas zonas onde é elevada a taxa de deformação. Nestes sítios em que domina a foliação de transposição  $S_1$ , é comum ocorrer veios de quartzo branco, às vezes acinzentado, com clivagem de fraturas e/ou cisalhados; ocorrem também pirita fina disseminada, *boxworks* e cavidades com drusas de quartzo e limonita.

#### 4.4 - Prospecção geoquímica

As amostras de sedimentos de corrente (87) e de concentrados de minerais pesados (87) coletadas na região de

Ibaré foram tratadas estatisticamente por meio de gráficos de probabilidade (Sinclair, 1976; Stanley, 1987), que permitem a separação de populações normais (ou log-normais) com procedimentos de máxima probabilidade, visando à determinação dos limiares de interesses aos levantamentos exploratórios. Foram definidos para os sedimentos de corrente e os concentrados de minerais pesados, respectivamente, os seguintes limiares para ouro: 118 ppb e 10.900 ppb (valor corrigido). O limiar para o número de pintas de ouro ficou definido em 7 pintas.

Com base nesses parâmetros estatísticos, foram delineadas na subárea Ibaré três pequenas bacias de captação, referentes a três amostras com valores anômalos para ouro, uma a partir de sedimentos de corrente e as demais de concentrados de minerais pesados. A primeira, relativa à amostra EM-39, com teor de 120 ppb de Au, está localizada em uma bacia de drenagem em cuja nascente aflora rocha metandesítica brechada com vénulas de quartzo, associada com rocha milonítica com alteração carbonatada, provavelmente de natureza calcissilicática. A segunda amostra, EM-85, com concentração anormala de 11.159 ppb (valor corrigido) de Au nos concentrados de minerais pesados e com 9 pintas de ouro, encontra-se associada a um contexto de rochas similar à da primeira amostra, ou seja, metandesitos com calcissilicáticas, com abundantes veios de quartzo com dezenas de metros de extensão e espessuras métricas. Por último, a amostra EM-09 com valor anormal corrigido (15.490 ppb de Au) no concentrado de minerais pesados, coletada no domínio de intrusivas ácidas. Essa anomalia poderia ser creditada à presença de veios de quartzo associados ao monzogranito Santa Rita.

No mapa geoquímico na escala 1:50.000 (Anexo II), além das bacias anômalas estão indicados os pontos de amostragem geoquímica, cada qual reproduzindo os valores numéricos obtidos a partir das análises químicas e de contagem de pintas de ouro.

#### 4.5 – Recomendações

Com base nos valores geoquímicos apurados e considerando os contextos geológicos caracterizados nas bacias anômalas, recomenda-se que estas sejam amostradas com maior densidade através da coleta de sedimentos de corrente e concentrados de minerais pesados, com análise para ouro e seus elementos farejadores (As, Sb, Ag, Cu, Pb, Zn, Fe, Mn).

Ao mesmo tempo, deve ser realizado um detalhamento geológico adequado ao esquema prospectivo, que deve ser extensivo a todo terreno metavulcanosedimentar, na área, bem como nas suas faixas de contato com corpos intrusivos ácidos. Tal levantamento deve ser acom-

panhado por amostragens de rochas, notadamente dirigidas a zonas deformadas e cisalhadas e marcadas por alterações hidrotermais, como aquelas que caracterizam as áreas com as anomalias geoquímicas. Neste sentido, a amostragem deve ser o mais abrangente possível, visando todos os produtos de alteração (clorítitos, níveis sulfetados, etc) e mobilizados (veios e vênulas de quartzo e carbonato).

Atenção especial também deverá ser dada àquelas unidades litológicas de reconhecida vocação aurífera, como por exemplo, seqüências vulcanoclásticas (metatufo) e químicas (metacherts), objetivando aferir a possibilidade da existência de jazigos de filiação vulcanogênica dos tipos exalativo-sedimentar e filoneano.

## 5 - Referências Bibliográficas

---

- LIMA, L. de. *A Mina Uruguai e Jazida Santa Maria - Distrito de Camaquã (RS): Um Estudo Petrológico, Geoquímico e Geotermométrico.* São Leopoldo, 1998. Dissertação (Mestrado em Geologia Sedimentar) - Universidade do Vale do Rio dos Sinos - UNISINOS.
- NAUMANN, M. P. *O Complexo Vulcano-Sedimentar-Ultramáfico e Granitóides da Região de Ibaré, RS.* Porto Alegre, 1985. 1v. Dissertação (Mestrado em Geociências) - Universidade Federal do Rio Grande do Sul - UFRGS.
- NAUMANN, M. P.; HARTMANN, L.A.; KOPPE, J.C.; CHEMALE JR., F. Seqüências supracrustais, gnaisses graníticos, granulitos e granitos intrusivos da Região de Ibaré-Palma, RS - Geologia, aspectos estratigráficos e considerações geotectônicas. In: CONGRESSO BRASILEIRO DE GEOLOGIA, 33, Rio de Janeiro. Anais... Rio de Janeiro, SBG, v. 5, p. 2417-2435, 1984.
- REMUS, M. V. D.; HARTMANN, L. A.; McNAUGHTON, N. J.; GROVES, D. I.; REISCHL, J. L.; DORNELES, N. T. *The Camaquã Cu (Au, Ag) and Santa Maria Pb-Zn (Cu, Ag) Mines of Rio Grande do Sul, southern Brazil - Is their mineralization syngenetic, diagenetic or hydrothermal epigenetic?* (Submetido ao Workshop de "Depósitos Brasileiros de Metais Base", Salvador), 1998.
- SINCLAIR, A.J. Applications of Probability Graphs in Mineral Exploration. *Assoc. Explor. Geochemists, Spec. Vol.* 4, 1976, 95 p.
- STANLEY, C.R. PROBPLOT - An Interactive Computer Program to Fit Mixtures of Normal (or Lognormal) Distributions with Maximum Likelihood Procedures. *Assoc. Explor. Geochemists, Spec. Vol.* 14, 1987, 40 p.
- TONIOLO, J.A.; KIRCHNER, C.A. *Área RS-01 - Lavras do Sul/Caçapava do Sul. Estado do Rio Grande do Sul. Escala 1:250.000.* Porto Alegre. CPRM (Programa Nacional de Prospeção de Ouro), 1995. 4 mapas.

---

## **LISTAGEM DOS INFORMES DE RECURSOS MINERAIS**

### **SÉRIE METAIS DO GRUPO DA PLATINA E ASSOCIADOS**

- Nº 01 - Mapa de Caracterização das Áreas de Trabalho (Escala 1:7.000.000), 1996.  
Nº 02 - Mapa Geológico Preliminar da Serra do Colorado - Rondônia e Síntese Geológico-Metalogenética, 1997.  
Nº 03 - Mapa Geológico Preliminar da Serra Céu Azul - Rondônia, Prospecção Geoquímica e Síntese Geológico-Metalogenética, 1997.  
Nº 04 - Síntese Geológica e Prospecção por Concentrados de Bateia nos Complexos Canabrawa e Barro Alto - Goiás, 1997.  
Nº 05 - Síntese Geológica e Prospecção Geoquímica/Aluvionar da Área Migrantinópolis - Rondônia, 2000.  
Nº 06 - Geologia e Prospecção Geoquímica/Aluvionar da Área Corumbiara/Chupinguaia - Rondônia, 2000.  
Nº 07 - Síntese Geológica e Prospecção Geoquímica/Aluvionar da Área Serra Azul - Rondônia, 2000.  
Nº 08 - Geologia e Resultados Prospectivos da Área Rio Branco/Alta Floresta - Rondônia, 2000.  
Nº 09 - Geologia e Resultados Prospectivos da Área Santa Luzia - Rondônia, 2000.  
Nº 10 - Geologia e Resultados Prospectivos da Área Nova Brasilândia - Rondônia, 2000.  
Nº 11 - Síntese Geológica e Prospecção Geoquímica da Área Rio Madeirinha - Mato Grosso, 2000.  
Nº 12 - Síntese Geológica e Prospectiva das Áreas Pedra Preta e Cotingo - Roraima, 2000.  
Nº 13 - Geologia e Resultados Prospectivos da Área Santa Bárbara - Goiás, 2000.  
Nº 14 - Geologia e Resultados Prospectivos da Área Barra da Gameleira - Tocantins, 2000.  
Nº 15 - Geologia e Resultados Prospectivos da Área Córrego Seco - Goiás, 2000.  
Nº 16 - Síntese Geológica e Resultados Prospectivos da Área São Miguel do Guaporé - Rondônia, 2000.  
Nº 17 - Geologia e Resultados Prospectivos da Área Cana Brava - Goiás, 2000.  
Nº 18 - Geologia e Resultados Prospectivos da Área Cacoal - Rondônia, 2000.  
Nº 19 - Geologia e Resultados Prospectivos das Áreas Morro do Leme e Sem Boné - Mato Grosso, 2000.  
Nº 20 - Geologia e Resultados Prospectivos das Áreas Pacaás Novos e Rio Cautário - Rondônia, 2000.  
Nº 21 - Aspectos Geológicos, Geoquímicos e Potencialidade em Depósitos de Ni-Cu-EGP do Magmatismo da Bacia do Paraná - 2000.

### **SÉRIE MAPAS TEMÁTICOS DE OURO - ESCALA 1:250.000**

- Nº 01 - Área GO-09 Aurilândia/Anicuns - Goiás, 1995.  
Nº 02 - Área RS-01 Lavras do Sul/Caçapava do Sul - Rio Grande do Sul, 1995.  
Nº 03 - Área RO-01 Presidente Médici - Rondônia, 1996.  
Nº 04 - Área SP-01 Vale do Ribeira - São Paulo, 1996.  
Nº 05 - Área PA-15 Inajá - Pará, 1996.  
Nº 06 - Área GO-05 Luziânia - Goiás, 1997.  
Nº 07 - Área PA-01 Paru - Pará, 1997.  
Nº 08 - Área AP-05 Serra do Navio/Cupixi - Amapá, 1997.  
Nº 09 - Área BA-15 Cariparé - Bahia, 1997.  
Nº 10 - Área GO-01 Crixás/Pilar - Goiás, 1997.  
Nº 11 - Área GO-02 Porangatu/Mara Rosa - Goiás, 1997  
Nº 12 - Área GO-03 Niquelândia - Goiás, 1997.  
Nº 13 - Área MT-01 Peixoto de Azevedo/Vila Guarita - Mato Grosso, 1997.  
Nº 14 - Área MT-06 Ilha 24 de Maio - Mato Grosso, 1997.  
Nº 15 - Área MT-08 São João da Barra - Mato Grosso/Pará, 1997.

---

## SÉRIE MAPAS TEMÁTICOS DE OURO - ESCALA 1:250.000 (cont.)

- Nº 16 - Área RO-02 Jenipapo/Serra Sem Calça - Rondônia, 1997.  
Nº 17 - Área RO-06 Guaporé/Madeira - Rondônia, 1997.  
Nº 18 - Área RO-07 Rio Madeira - Rondônia, 1997.  
Nº 19 - Área RR-01 Uraricaá - Roraima, 1997.  
Nº 20 - Área AP-03 Alto Jari - Amapá/Pará, 1997.  
Nº 21 - Área CE-02 Várzea Alegre/Lavras da Mangabeira/Encanto - Ceará, 1997.  
Nº 22 - Área GO-08 Arenópolis/Amorinópolis - Goiás, 1997.  
Nº 23 - Área PA-07 Serra Pelada - Pará, 1997.  
Nº 24 - Área SC-01 Botuverá/Brusque/Gaspar - Santa Catarina, 1997.  
Nº 25 - Área AP-01 Cassiporé - Amapá, 1997.  
Nº 26 - Área BA-04 Jacobina Sul - Bahia, 1997.  
Nº 27 - Área PA-03 Cuiapucu/Carará - Pará/Amapá, 1997.  
Nº 28 - Área PA-10 Serra dos Carajás - Pará, 1997.  
Nº 29 - Área AP-04 Tumucumaque - Pará, 1997.  
Nº 30 - Área PA-11 Xinguara - Pará, 1997. Nº 25 - Área AP-01 Cassiporé - Amapá, 1997.  
Nº 31 - Área PB-01 Cachoeira de Minas/Itajubatiba/Itapetim - Paraíba/Pernambuco, 1997.  
Nº 32 - Área AP-02 Tartarugalzinho - Amapá, 1997.  
Nº 33 - Área AP-06 Vila Nova/Iratapuru - Amapá, 1997.  
Nº 34 - Área PA-02 Ipitinga - Pará/Amapá, 1997.  
Nº 35 - Área PA-17 Caracol - Pará, 1997.  
Nº 36 - Área PA-18 Vila Riozinho - Pará, 1997.  
Nº 37 - Área PA-19 Rio Novo - Pará, 1997.  
Nº 38 - Área PA-08 São Félix - Pará, 1997.  
Nº 39 - Área PA-21 Marupá - Pará, 1998.  
Nº 40 - Área PA-04 Três Palmeiras/Volta Grande - Pará, 1998.  
Nº 41 - Área TO-01 Almas/Natividade - Tocantins, 1998.  
Nº 42 - Área RN-01 São Fernando/Ponta da Sema/São Francisco - Rio Grande do Norte/Paraíba, 1998.  
Nº 43 - Área GO-06 Cavalcante - Goiás/Tocantins, 1998.  
Nº 44 - Área MT-02 Alta Floresta - Mato Grosso/Pará, 1998.  
Nº 45 - Área MT-03 Serra de São Vicente - Mato Grosso, 1998.  
Nº 46 - Área AM-04 Rio Traíra - Amazonas, 1998.  
Nº 47 - Área GO-10 Pirenópolis/Jaraguá - Goiás, 1998.  
Nº 48 - Área CE-01 Reriutaba/Ipu - Ceará, 1998.  
Nº 49 - Área PA-06 Manelão - Pará, 1998.  
Nº 50 - Área PA-20 Jacareacanga - Pará/Amazonas, 1998.  
Nº 51 - Área MG-07 Paracatu - Minas Gerais, 1998.  
Nº 52 - Área RO-05 Colorado - Rondônia/Mato Grosso, 1998.  
Nº 53 - Área TO-02 Brejinho de Nazaré - Tocantins, 1998.  
Nº 54 - Área RO-04 Porto Esperança - Rondônia, 1998.  
Nº 55 - Área RO-03 Parecis - Rondônia, 1998.  
Nº 56 - Área RR-03 Uraincoera - Roraima, 1998.  
Nº 57 - Área GO-04 Goiás - Goiás, 1998.  
Nº 58 - Área MA-01 Belo do Gurupi - Maranhão/Pará, 1998.  
Nº 59 - Área MA-02 Aurizona/Carutapera - Maranhão/Pará, 1998.  
Nº 60 - Área PE-01 Semita - Pernambuco, 1998.  
Nº 61 - Área PR-01 Curitiba/Morretes - Paraná, 1998.  
Nº 62 - Área MG-01 Pitangui - Minas Gerais, 1998.  
Nº 63 - Área PA-12 Rio Fresco - Pará, 1998.  
Nº 64 - Área PA-13 Madalena - Pará, 1998.  
Nº 65 - Área AM-01 Parauari - Amazonas/Pará, 1999.

---

## **SÉRIE MAPAS TEMÁTICOS DE OURO - ESCALA 1:250.000 (cont.)**

- Nº 66 - Área BA-01 Itapicuru Norte - Bahia, 1999.
- Nº 67 - Área RR-04 Quino Maú - Roraima, 1999.
- Nº 68 - Área RR-05 Apiaú - Roraima, 1999.
- Nº 69 - Área AM 05 Gavião/Dez Dias - Amazonas, 1999.
- Nº 70 - Área MT-07 Araés/Nova Xavantina - Mato Grosso, 2000.
- Nº 71 - Área AM-02 Cauaburi - Amazonas, 2000.
- Nº 72 - Área RR-02 Mucajá - Roraima, 2000.
- Nº 73 - Área RR-06 Rio Amajari - Roraima, 2000.
- Nº 74 - Área BA-03 Jacobina Norte - Bahia, 2000.
- Nº 75 - Área MG-04 Serro - Minas Gerais, 2000.
- Nº 76 - Área BA-02 Itapicuru Sul - Bahia, 2000.
- Nº 77 - Área MG-03 Conselheiro Lafaiete - Minas Gerais, 2000.
- Nº 78 - Área MG-05 Itabira - Minas Gerais, 2000.
- Nº 79 - Área MG-09 Riacho dos Machados - Minas Gerais, 2000.
- Nº 80 - Área BA-14 Correntina - Bahia, 2000.

## **SÉRIE OURO - INFORMES GERAIS**

- Nº 01 - Mapa de Reservas e Produção de Ouro no Brasil (Escala 1:7.000.000), 1996.
- Nº 02 - Programa Nacional de Prospecção de Ouro - Natureza e Métodos, 1998.
- Nº 03 - Mapa de Reservas e Produção de Ouro no Brasil (Escala 1:7.000.000), 1998.
- Nº 04 - Gold Prospecting National Program - Subject and Methodology, 1998.
- Nº 05 - Mineralizações Auríferas da Região de Cachoeira de Minas – Municípios de Manaíra e Princesa Isabel - Paraíba, 1998.
- Nº 06 - Mapa de Reservas e Produção de Ouro no Brasil (Escala 1:7.000.000), 2000.
- Nº 07 - Resultados da Prospecção para Ouro na Área RS-01 - Lavras do Sul/Caçapava do Sul, Subárea Minas do Camaquã - Rio Grande do Sul, 2000.
- Nº 08 - Resultados da Prospecção para Ouro na Área RS-01 - Lavras do Sul/Caçapava do Sul, Subárea Ibaré - Rio Grande do Sul, 2000.

## **SÉRIE INSUMOS MINERAIS PARA AGRICULTURA**

- Nº 01 - Mapa Síntese do Setor de Fertilizantes Minerais (NPK) no Brasil (Escala 1:7.000.000), 1997.
- Nº 02 - Fosfato da Serra da Bodoquena - Mato Grosso do Sul, 2000.
- Nº 03 - Estudo do Mercado de Calcário para Fins Agrícolas no Estado de Pernambuco, 2000.

## **SÉRIE PEDRAS PRECIOSAS**

- Nº 01 - Mapa Gemológico da Fronteira Oeste do Rio Grande do Sul, 1997.
- Nº 02 - Mapa Gemológico da Região Lajeado/Soledade/Salto do Jacuí - Rio Grande do Sul, 1998
- Nº 03 - Mapa Gemológico da Região de Ametista do Sul - Rio Grande do Sul, 1998.
- Nº 04 - Recursos Gemológicos dos Estados do Piauí e Maranhão, 1998.
- Nº 05 - Mapa Gemológico do Estado do Rio Grande do Sul, 2000.
- Nº 06 - Mapa Gemológico do Estado de Santa Catarina, 2000.

---

## **SÉRIE OPORTUNIDADES MINERAIS - EXAME ATUALIZADO DE PROJETO**

- Nº 01 - Níquel de Santa Fé - Estado de Goiás, 1996.
- Nº 02 - Níquel do Morro do Engenho - Estado de Goiás, 1996.
- Nº 03 - Cobre de Bom Jardim - Estado de Goiás, 2000.
- Nº 04 - Ouro no Vale do Ribeira - Estado de São Paulo, 1996.
- Nº 05 - Chumbo de Redenção - Estado da Bahia, 1996.
- Nº 06 - Turfa de Caçapava - Estado de São Paulo, 1996.
- Nº 08 - Ouro de Natividade - Estado do Tocantins, 2000.
- Nº 09 - Gipsita do Rio Cupari - Estado do Pará, 1997.
- Nº 10 - Zinco, Chumbo e Cobre de Palmeirópolis - Estado de Tocantins, 2000.
- Nº 11 - Fosfato de Miriri - Estados da Paraíba e Pernambuco, 1998.
- Nº 12 - Turfa da Região de Itapuã - Estado do Rio Grande do Sul, 1998.
- Nº 13 - Turfa de Águas Claras - Estado do Rio Grande do Sul, 1998.
- Nº 14 - Turfa - Estados de Alagoas/Paraíba/Rio Grande do Norte, 1997.
- Nº 15 - Nióbio de Uaupés - Estado do Amazonas, 1997.
- Nº 16 - Diamante do Rio Maú - Estado da Roraima, 1997.
- Nº 18 - Turfa de Santo Amaro das Brotas - Estado de Sergipe, 1997.
- Nº 19 - Diamante de Santo Inácio - Estado da Bahia, 1997.
- Nº 21 - Carvão nos Estados do Rio Grande do Sul e Santa Catarina, 1997.
- Nº 22 - Coal in the States of Rio Grande do Sul and Santa Catarina, 2000.

## **SÉRIE DIVERSOS**

- Nº 01 - Informe de Recursos Minerais - Diretrizes e Especificações - Rio de Janeiro, 1997.
- Nº 02 - Argilas Nobres e Zeolitas na Bacia do Pamaíba - Belém, 1997.
- Nº 03 - Rochas Omamentais de Pernambuco - Folha Belém do São Francisco - Escala 1:250.000 - Recife, 2000.

---

## Companhia de Pesquisa de Recursos Minerais

**Sede**

SGAN Quadra 603 - Conjunto "J" - Parte A - 1º andar -  
Cep: 70830.030 - Brasília - DF  
Telefones: (061)312-5252 - (061)223-5253 (PABX)  
Fax: (061)225-3985

**Escritório Rio**

Av. Pasteur, 404 - Urca - Cep: 22292.040 -  
Rio de Janeiro - RJ  
Telefones: (021)295-5337 - (021)295-0032 (PABX)  
Fax: (021)295-6347

**Diretoria de Geologia e Recursos Minerais**

Telefone: (021)295-6196  
Fax: (021)295-6196  
E-Mail: juarez@cristal.cprm.gov.br

**Departamento de Recursos Minerais**

Telefone: (021)295-5446  
E-Mail: mafa@cristal.cprm.gov.br

**Diretoria de Relações Institucionais e Desenvolvimento**

Telefone: (021)295-5837  
Fax: (021)295-5947  
E-Mail: augusto@cristal.cprm.gov.br

**Divisão de Documentação Técnica**

Telefones: (021)295-5997  
Fax (021)295-5897  
E-Mail: seus@cristal.cprm.gov.br

**Superintendência Regional de Belém**

Av. Dr. Freitas, 3645 - Marco - Cep: 66095.110 -  
Belém - PA  
Telefones: (091)226-0016 - (091)246-8577 (PABX)  
Fax: (091)246-4020  
E-Mail: cprmbe@cprmbe.gov.br

**Superintendência Regional de Belo Horizonte**

Av. Brasil, 1731 - Funcionários - Cep: 30140.002 -  
Belo Horizonte - MG  
Telefones: (031)261-3037 - (031)261-5977 (PABX)  
Fax: (031)261-5585  
E-Mail: cprmbh@estaminas.com.br

**Superintendência Regional de Goiânia**

Rua 148, 485 - Setor Marista - Cep: 74170.110 -  
Goiânia - GO  
Telefones: (062)281-1342 - (062)281-1522 (PABX)  
Fax: (062)281-1709

**Superintendência Regional de Manaus**

Av. André Araújo, 2160 - Aleixo -  
Cep: 69065.001 - Manaus - AM  
Telefones: (092)663-5533 - (092)663-5640 (PABX)  
Fax: (092)663-5531  
E-Mail: suregma@internext.com.br

**Superintendência Regional de Porto Alegre**

Rua Banco da Província, 105 - Cep: 90840.030 -  
Porto Alegre - RS  
Telefones: (051)233-4643 - (051)233-7311 (PABX)  
Fax: (051)233-7772  
E-Mail: cprm\_pa@portoweb.com.br

**Superintendência Regional de Recife**

Av. Beira Rio, 45 - Madalena - Cep: 50610.100 -  
Recife - PE  
Telefones: (081)227-6293 - (081)227-0277 (PABX)  
Fax: (081)227-4281  
E-Mail: cprm@fisepe.pe.gov.br

**Superintendência Regional de Salvador**

Av. Ulisses Guimarães, 2862  
Centro Administrativo da Bahia - Cep: 41213.000 -  
Salvador - BA  
Telefones: (071)230-0025 - (071)230-9977 (PABX)  
Fax: (071)371-4005  
E-Mail: cprmsa@bahianet.com.br

**Superintendência Regional de São Paulo**

Rua Barata Ribeiro, 357 - Bela Vista - Cep: 01308.000 -  
São Paulo - SP  
Telefones: (011)255-8655 - (011)255-8155 (PABX)  
Fax: (011)256-6955  
E-Mail: cprmsp@uninet.com.br

**Residência de Fortaleza**

Av. Santos Dumont, 7700 - 4º andar - Papicu -  
Cep: 60150.163 - Fortaleza - CE  
Telefones: (085)265-1726 - (085)265-1288 (PABX)  
Fax: (085)265-2212  
E-Mail: refort@secrel.com.br

**Residência de Porto Velho**

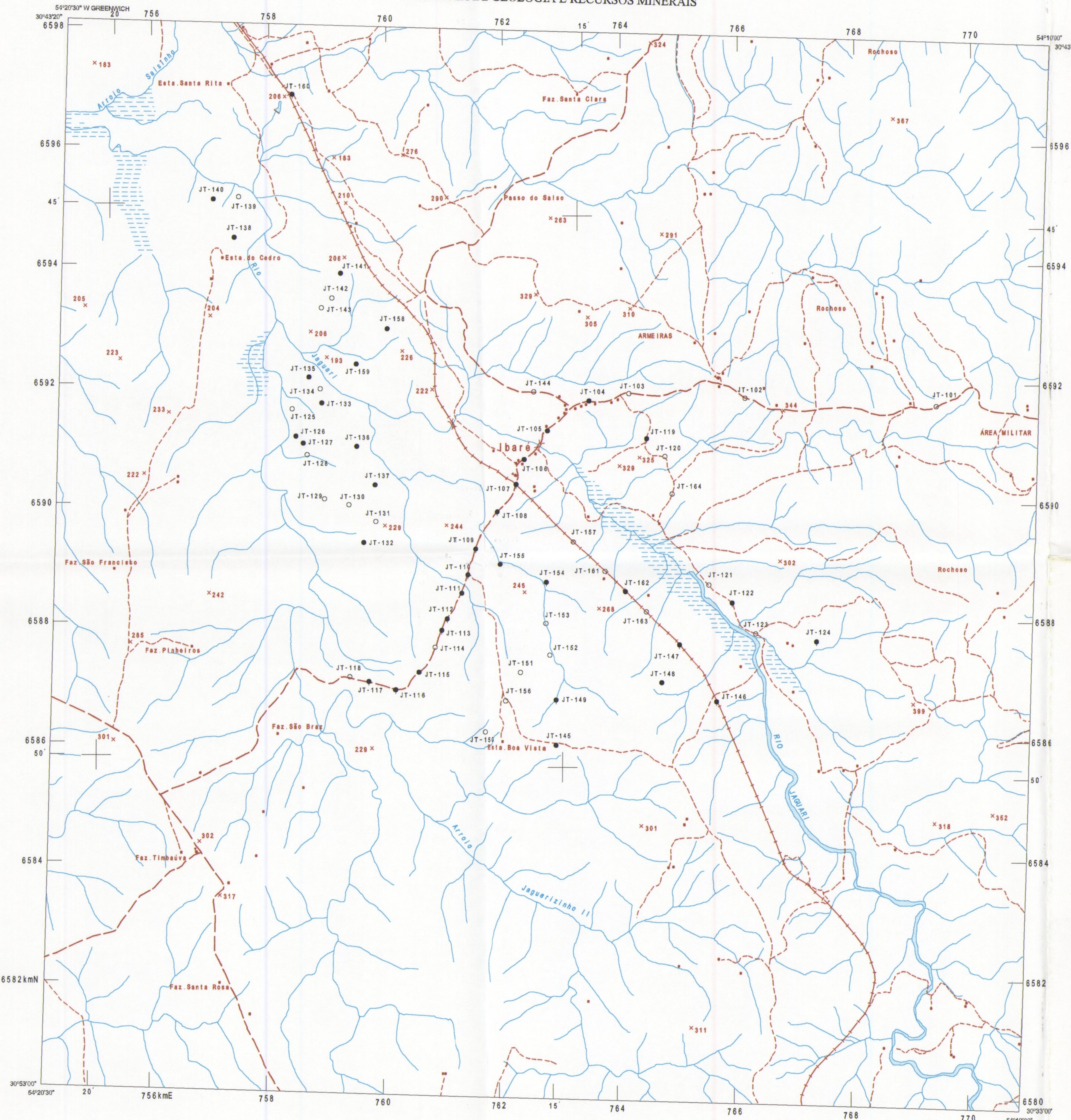
Av. Lauro Sodré, 2561 - Bairro Tanques -  
Cep: 78904.300 - Porto Velho - RO  
Telefones: (069)223-3165 - (069)223-3544 (PABX)  
Fax: (069)221-5435  
E-Mail: cprmrepo@enter-net.com.br

**Residência de Teresina**

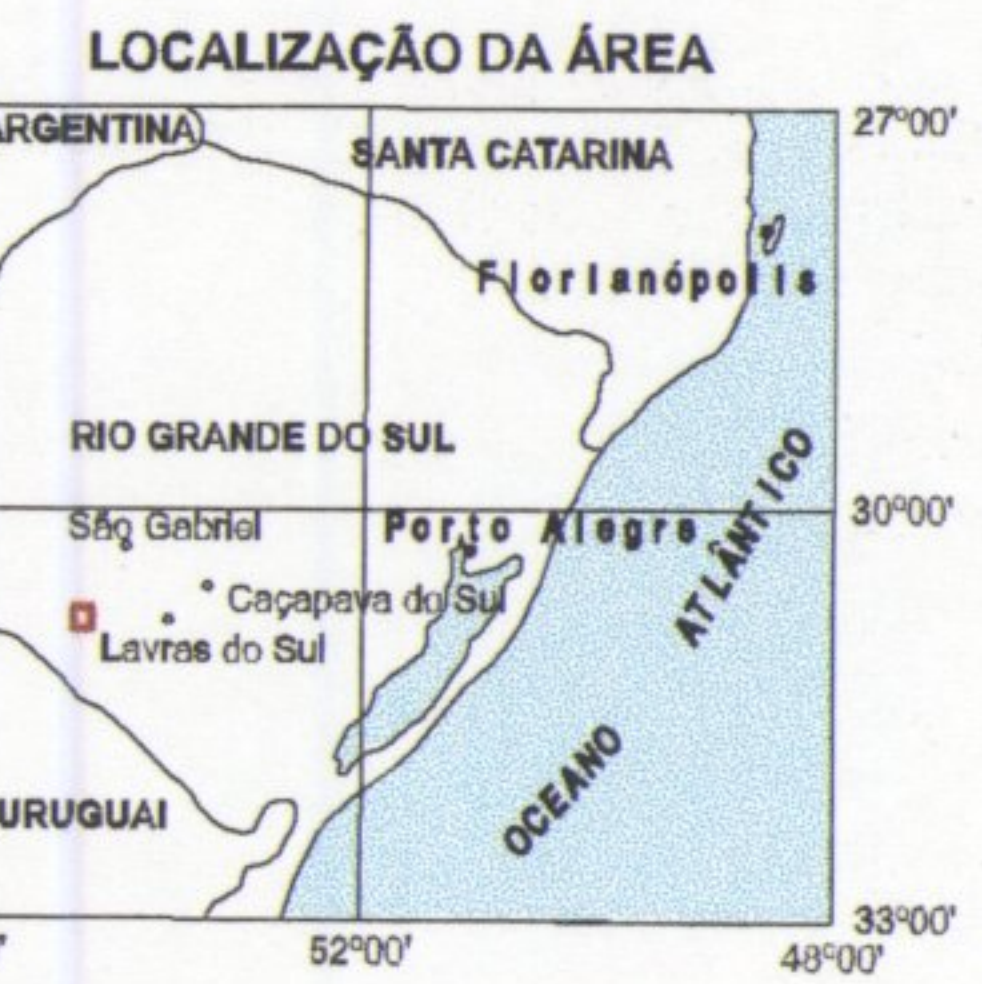
Rua Goiás, 312 - Sul - CEP: 64001-570 - Teresina - PI  
Telefones: (086)222-6963 - (086)222-4153 (PABX)  
Fax: (086)222-6651



MINISTÉRIO DE MINAS E ENERGIA  
COMPANHIA DE PESQUISA DE RECURSOS MINERAIS  
DIRETORIA DE GEOLOGIA E RECURSOS MINERAIS



Base planimétrica digitalizada pela CPRM (Superintendência Regional de Porto Alegre), a partir das folhas Suspiro, Lagoa da Meia Lua, Ibaré e Coxilha do Tabuleiro, na escala 1:50.000, 1<sup>a</sup>ed., 2<sup>a</sup>imp., DSG, 1979/1980.  
Tratamento cartográfico dos elementos da base e do tema sob a responsabilidade da Gerência de Relações Institucionais e Desenvolvimento - GERIDE.  
Gerente: Geó. José Leonardo S. Andriotti  
Editoração: Geó. Luís Edmundo Giffoni  
Digitalização: Ademir Evandro Flores



Este mapa, juntamente com o Mapa Geológico e o Mapa Geoquímico, constituem anexos do Informe de Recursos Minerais da Série Ouro - Informes Gerais N° 08, do Programa Nacional de Prospecção de Ouro, concebido e executado pela CPRM - Serviço Geológico do Brasil.  
Concepção programática e supervisão: Geó. Mário Farina  
Coordenação nacional: Geó. Gerson Manoel Muniz de Matos  
Assistência técnica: Geó. Ricardo Gallart de Menezes

ESCALA 1:50.000  
PROJEÇÃO UNIVERSAL TRANSVERSA DE MERCATOR



Descrição, amostragem, e medições de cintilometria e susceptibilidade magnética de rocha, realizadas pelos Geólogos João Angelo Tonello e Carlos Alberto Kirchner  
Coordenação Técnica: Geólogos Luiz Fernando F. Albuquerque e Sérgio José Romanini  
Superintendência Regional de Porto Alegre.

**LEGENDA**

| CONVENÇÕES                |
|---------------------------|
| - casa, escola            |
| - estrada não pavimentada |
| - caminho                 |
| - estrada de ferro        |
| - drenagem                |
| - barragem, açude         |
| - área inundável          |
| x 305                     |
| ponto cotado              |

**AFLORAMENTOS DESCritos**

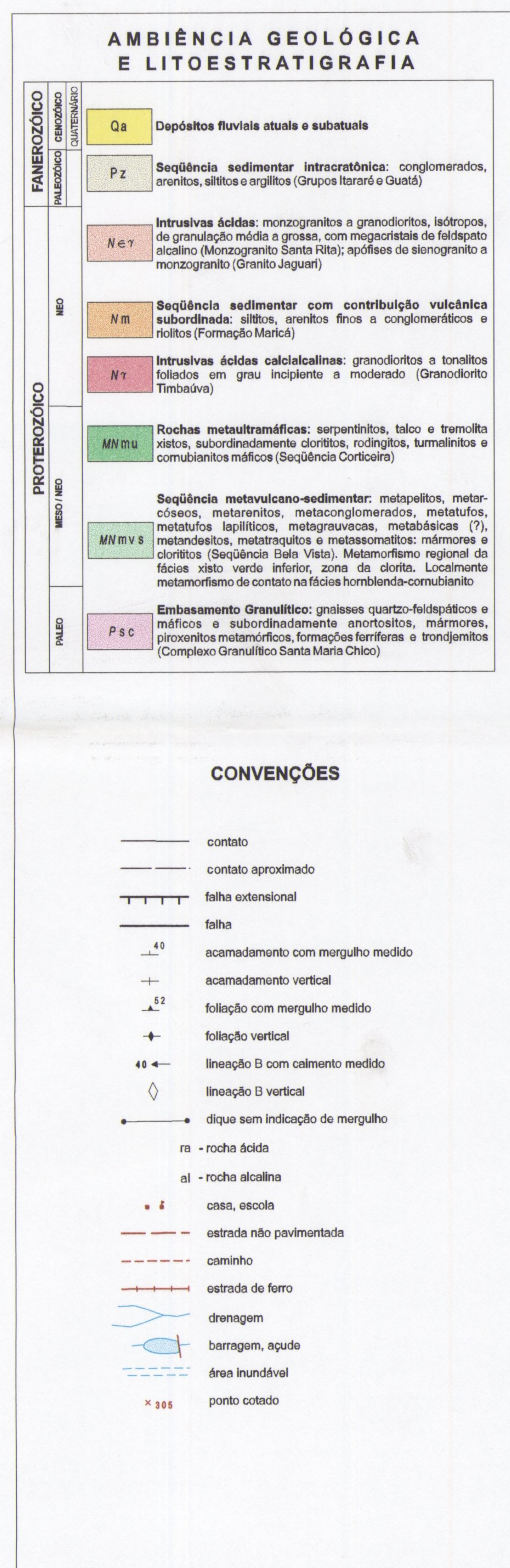
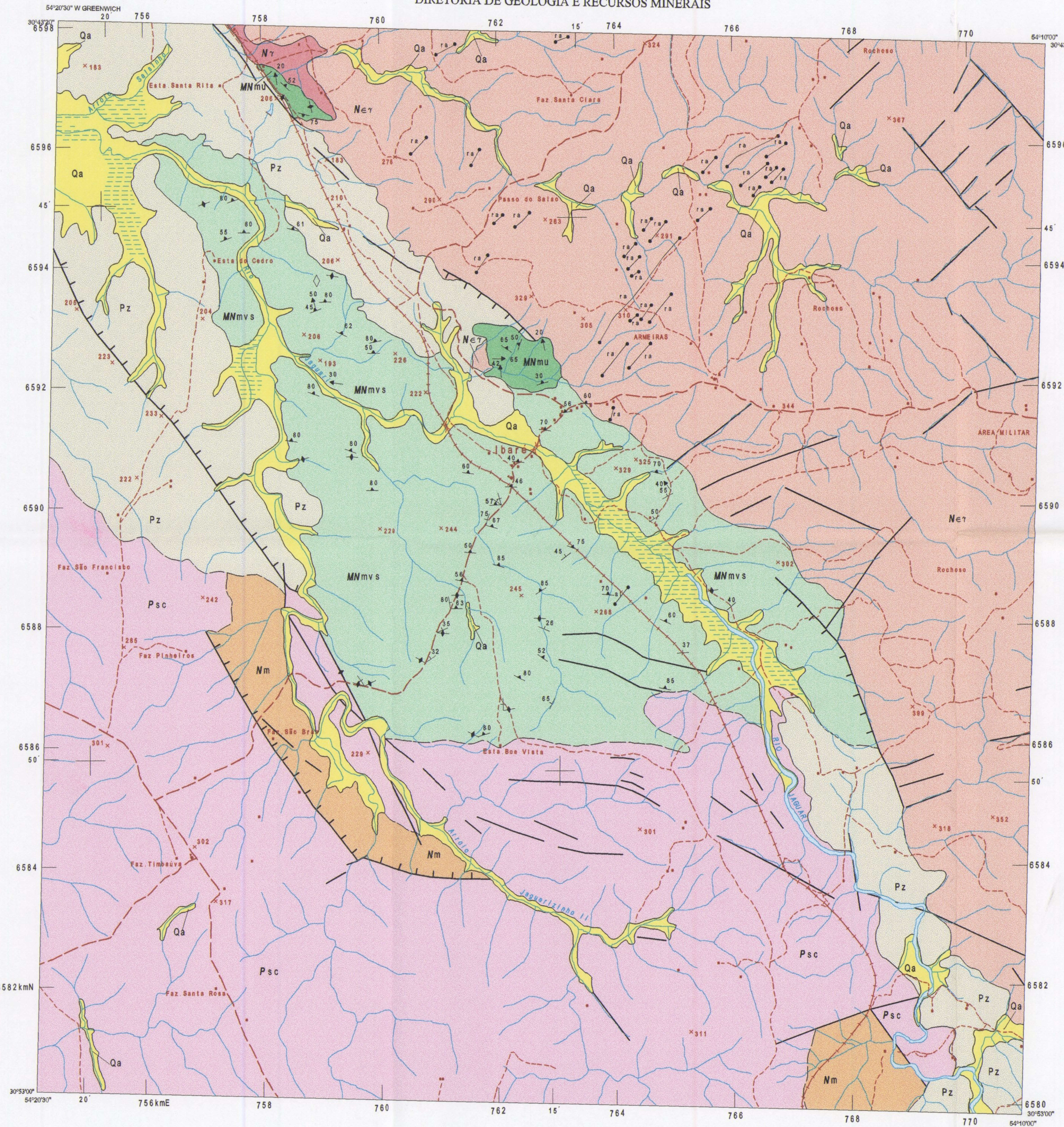
| Nº      | Classificação de Campo        | Classificação Petrográfica    | Cintilo-metria | Suscep-tibilidade (c/s) ( $10^{-3}$ siu) | Observações                        |   |
|---------|-------------------------------|-------------------------------|----------------|--|------------------------------------|---|
| JT-101  | granito                       | -                             | 120            | 1,80                                     | -                                  |   |
| JT-102  | granito                       | -                             | 90             | 0,96                                     | veios de quartzo                   |   |
| JT-103  | granito                       | -                             | 95             | 0,24                                     | dique máfico alterado              |   |
| JT-104  | metarcóseeo                   | -                             | 25             | 0,40                                     | apofise de granito                 |   |
| JT-105  | metarcóseeo                   | -                             | 20             | 0,24-1,16                                | raras vénulas de quartzo           |   |
| JT-106  | metapalito                    | -                             | -              | -  | -                                  |   |
| JT-107a | -                             | metarcóseeo                   | 50             | 0,40                                     | vénulas de carbonato               |   |
| JT-107b | -                             | meta(?andesito brechado       | 50             | 4  | arsenopítra disseminada            |   |
| JT-107c | -                             | metarcóseeo                   | -              | -  | vénulas de quartzo                 |   |
| JT-107d | granito fino                  | -                             | -              | -  | -                                  |   |
| JT-107e | -                             | hidrotermalito (mármore)      | 30             | 0,20                                     | vénulas de quartzo                 |   |
| JT-108a | -                             | metandesito                   | 30             | 0,20                                     | -                                  |   |
| JT-108c | -                             | hidrotermalito(mármore)       | 30             | 0,20                                     | -                                  |   |
| JT-108d | -                             | metaepiclastica               | 55             | 0,40                                     | -                                  |   |
| JT-108f | -                             | metafuso                      | 55             | 0,40                                     | intenso fraturamento               |   |
| JT-109  | -                             | metacristalita                | 80             | 0,40                                     | intenso fraturamento               |   |
| JT-110a | -                             | metarcóseeo                   | 55             | 0,40                                     | vénulas de quartzo                 |   |
| JT-110b | -                             | lampríforo                    | 55             | 0,40                                     | intenso fraturamento               |   |
| JT-111  | -                             | -                             | 55             | 0,40                                     | vénulas de quartzo                 |   |
| JT-112a | -                             | metatufo                      | 55             | 0,40                                     | intenso fraturamento               |   |
| JT-112b | -                             | metatufo lapilitico           | 50             | 0,20                                     | vénulas de quartzo                 |   |
| JT-113  | metardifítito                 | metatufo a cristal            | 20             | 1,30                                     | -                                  |   |
| JT-114  | metaritmito                   | -                             | -              | -  | hidrotermalito corta o metarenito  |   |
| JT-115  | metarenito                    | -                             | -              | -  | hidrotermalito corta o metarenito  |   |
| JT-116a | -                             | hidrotermalito (clorito)      | 50             | 0,20                                     | -                                  |   |
| JT-116b | -                             | hidrotermalito (mármore)      | 50             | 0,20                                     | -                                  |   |
| JT-117a | -                             | metarcóseeo                   | 20             | 0,40                                     | veios de quartzo                   |   |
| JT-117b | -                             | -                             | 50             | 0,20                                     | contato lenticularizado            |   |
| JT-118  | metarenito                    | -                             | <20            | 0,40                                     | -                                  |   |
| JT-119  | metatufos/metalgneas          | calcissilicática              | 0              | 50                                       | veios de quartzo                   |   |
| JT-120  | metandesito                   | -                             | -              | 0,40                                     | -                                  |   |
| JT-121  | metandesito/metarritmito      | -                             | -              | >0,20                                    | vénulas de quartzo                 |   |
| JT-122  | metarcóseeo                   | metarcóseeo                   | -              | 0,20                                     | intenso fraturamento               |   |
| JT-123  | metarcóseeo                   | -                             | -              | 3  | arsenopítra disseminada            |   |
| JT-124  | -                             | tufo                          | -              | 0,20                                     | blocos espalhados                  |   |
| JT-125  | velo de quartzo               | -                             | -              | -  | películas de alteração de sulfetos |   |
| JT-126  | metarritmito/metarcóseeo      | metaritmito                   | -              | -  | fragments de quartzo               |   |
| JT-127  | -                             | metaritmito                   | 60             | 0,20                                     | seixos/matações de granito grosso  |   |
| JT-128  | -                             | metaritmito                   | -              | -  | -                                  |   |
| JT-129  | -                             | conglomerado                  | 160            | 0,20                                     | -                                  |   |
| JT-130  | -                             | granito fino                  | -              | -  | -                                  |   |
| JT-131  | -                             | velo de quartzo               | -              | -  | -                                  |   |
| JT-132  | metabásica brechada           | riodacito(?)                  | 30             | 7  | fragmentos de quartzo abundante    |   |
| JT-133  | -                             | milonito(?)                   | 30             | 0,20                                     | -                                  |   |
| JT-134  | -                             | calcissilicática(?)           | -50            | -5                                       | -                                  |   |
| JT-135  | -                             | metassedimentos               | -              | -  | afloramentos de quartzo            |   |
| JT-136  | -                             | calcissilicática/granito fino | 50/150         | 0,20/0,20                                | metarritmitos ocorrem associados   |   |
| JT-137  | -                             | metandesito                   | <50            | 0,20                                     | fragmentos de quartzo abundante    |   |
| JT-138  | -                             | metapsamito                   | 20             | 0,20                                     | -                                  |   |
| JT-139  | -                             | calcissilicática              | -              | -  | quartzo c/ drusas e limonita       |   |
| JT-140  | -                             | metábase                      | -              | -  | velo de quartzo                    |   |
| JT-141a | -                             | calcissilicática              | 30             | 0,20                                     | -                                  |   |
| JT-141b | -                             | metábase                      | 20             | 0,70                                     | -                                  |   |
| JT-142  | silica/ metassedimentos       | -                             | -              | -  | veios de quartzo                   |   |
| JT-143  | metassedimentos               | -                             | -              | -  | -                                  |   |
| JT-144  | metabásica                    | -                             | -              | -  | -                                  |   |
| JT-145  | gnaisse quartzo-feldspático   | "hidrotermalito"(mármore)     | 30             | 0,40                                     | zona de contato                    |   |
| JT-146  | gnaisse/metabásicas           | metarenito                    | -              | -  | vénulas de carbonato               |   |
| JT-147a | -                             | metarcóseeo                   | -              | -  | vénulas de carbonato               |   |
| JT-147b | -                             | metapalito                    | -              | -  | vénulas de carbonato               |   |
| JT-147c | -                             | tufo a cristal                | -              | -  | -                                  |   |
| JT-148  | metarenito                    | -                             | -              | -  | -                                  |   |
| JT-149a | metapalito/metaconglomerado   | metarcóseeo                   | 40             | 0,20                                     | -                                  |   |
| JT-149b | metavulcânica                 | metandesito hidrotermalizado  | 20             | 0,30                                     | -                                  |   |
| JT-149c | metarcóseeo(?)                | -                             | 50             | 60                                       | fraturado                          |   |
| JT-149d | metarcóseeo/metarilolito      | metatraquito                  | -              | -  | -                                  |   |
| JT-150  | metapalito/gnaisse e milonito | -                             | -              | -  | -                                  |   |
| JT-151  | velo de quartzo               | -                             | -              | -  | -                                  |   |
| JT-152  | metarcóseeo(duro)             | -                             | -              | -  | fraturas c/ películas de óxidos    |   |
| JT-153  | metaritmitos                  | -                             | -              | 45                                       | pirita disseminada                 |   |
| JT-154  | metaritmitos/meterenito       | tufos                         | 60             | 0,40                                     | -                                  |   |
| JT-155  | metarcóseeo                   | -                             | -              | 60                                       | 0,20                               | - |
| JT-156  | metarenito                    | -                             | -              | -  | fragmentos de quartzo              |   |
| JT-157  | metarenito                    | -                             | -              | -  | associado c/ ultramáficas          |   |
| JT-158  | velo de quartzo/milonito      | -                             | -              | -  | associado c/ ultramáficas          |   |
| JT-160a | -                             | metandesito                   | 30             | 0,40                                     | intercalado c/ ultramáficas        |   |
| JT-160b | -                             | metandesito                   | -              | -  | -                                  |   |
| JT-160c | chert                         | -                             | -              | 60                                       | 0,20                               | - |
| JT-161  | metarenito                    | -                             | -              | 60                                       | 0,20                               | - |
| JT-162  | metarcóseeo                   | -                             | -              | -  | -                                  |   |
| JT-163  | metarenito                    | -                             | -              | -  | -                                  |   |
| JT-164  | metaritmito                   | -                             | -              | 0,20                                     | veios/venulação de quartzo         |   |

**CPRM**  
Serviço Geológico do Brasil  
**PROGRAMA NACIONAL DE PROSPEÇÃO DE OURO**  
**- P N P O -**

**PROJETO OURO RS/SC**  
**Etapas II - Subárea IBARÉ**

| Escala 1:50.000 | Anexo I<br>Mapa de Afloramentos | Agosto / 2000 |
|-----------------|---------------------------------|---------------|
|-----------------|---------------------------------|---------------|

MINISTÉRIO DE MINAS E ENERGIA  
COMPANHIA DE PESQUISA DE RECURSOS MINERAIS  
DIRETORIA DE GEOLOGIA E RECURSOS MINERAIS



Base planimétrica digitalizada pela CPRM (Superintendência Regional de Porto Alegre), a partir das folhas Suspiro, Lagoa da Meia Lua, Ibaré e Coxilha do Tabuleiro, na escala 1:50.000, 1ª ed., 2º imp., DSG, 1979/1980.

Tratamento cartográfico dos elementos da base e do tema sob a responsabilidade da Gerência de Relações Institucionais e Desenvolvimento - GERIDE.

Gerente: Geól. José Leonardo S. Andriotti  
Editoração: Geól. Luis Edmundo Giffoni  
Digitalização: Ademir Evandro Flores



Este mapa, juntamente com o Mapa de Afloramentos e o Mapa Geoquímico constituem anexos do Informe de Recursos Minerais da Série Ouro - Informes Gerais N° 08, do Programa Nacional de Prospecção de Ouro, concedido e executado pela CPRM - Serviço Geológico do Brasil.

Concepção programática e supervisão: Geól. Mário Farina  
Coordenação nacional: Geól. Gerson Manoel Muniz de Matos  
Assistência técnica: Geól. Ricardo Gallart de Menezes

**LOCALIZAÇÃO DA ÁREA**  
SEGUNDO A ARTICULAÇÃO DAS FOLHAS

ESCALA 1:50.000

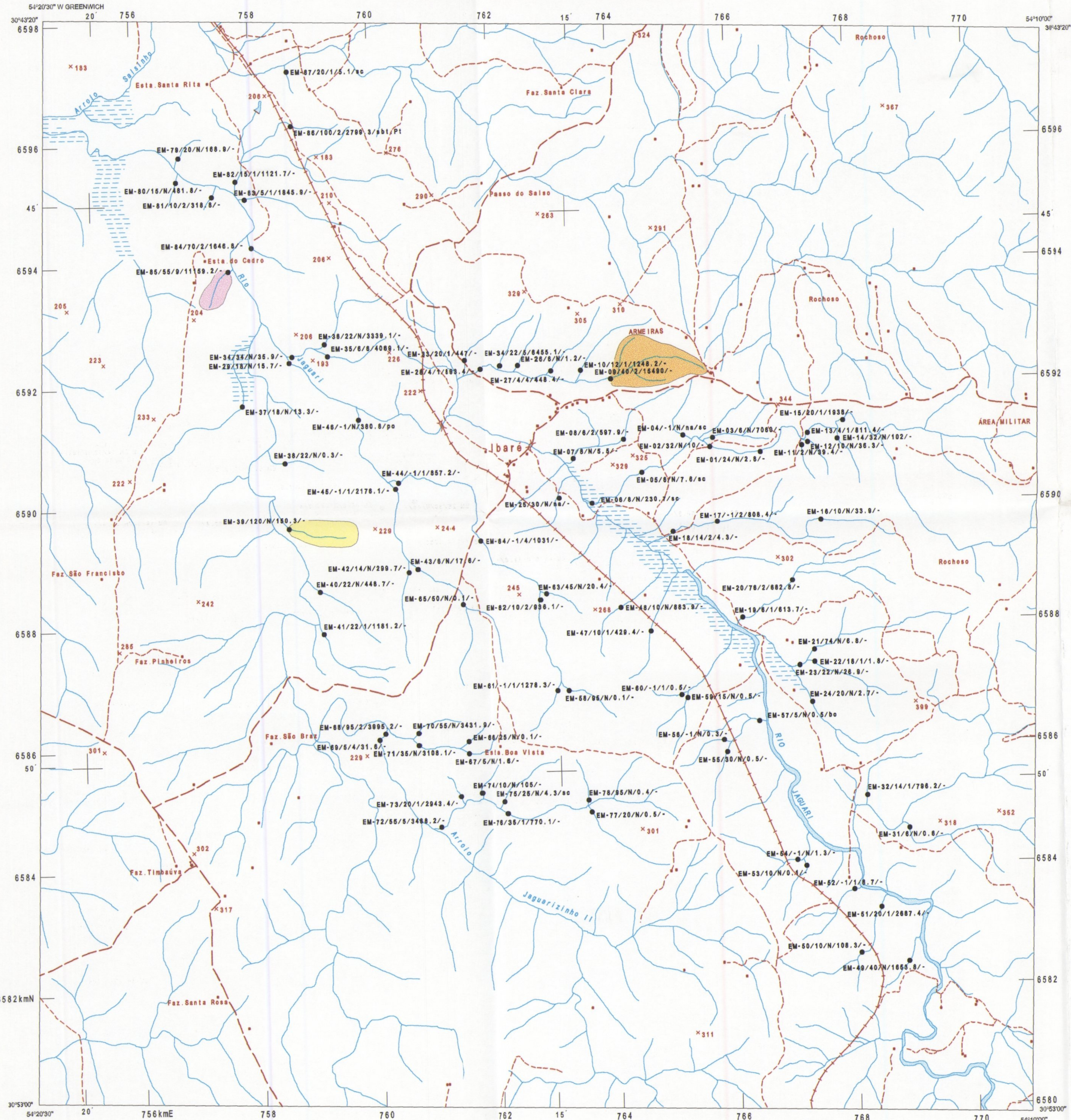
Geologia executada pelos Geólogos João Angelo Tonello e Carlos Alberto Kirchner  
Coordenação Técnica: Geólogos Luiz Fernando F. de Albuquerque e Sérgio José Romanini  
Superintendência Regional de Porto Alegre.

**CPRM**  
Serviço Geológico do Brasil  
**PROGRAMA NACIONAL DE PROSPECÇÃO DE OURO**  
**- P N P O -**

**PROJETO OURO RS/SC**  
**Etapas II - Subárea IBARÉ**

Escala 1:50.000 Anexo II  
Mapa de Ambiência Geológica Agosto / 2000

MINISTÉRIO DE MINAS E ENERGIA  
COMPANHIA DE PESQUISA DE RECURSOS MINERAIS  
DIRETORIA DE GEOLOGIA E RECURSOS MINERAIS



Base planimétrica digitalizada pela CPRM (Superintendência Regional de Porto Alegre), a partir das folhas Suspiro, Lagoa da Meia Lua, Ibaré e Coxilha do Tabuleiro, na escala 1:50.000, 1ª ed., 2ª imp., DSG, 1979/1980.  
Tratamento cartográfico dos elementos da base e do tema sob a responsabilidade da Gerência de Relações Institucionais e Desenvolvimento - GERIDE.  
Gerente: Geól. José Leonardo S. Andriotti  
Editoração: Geól. Luís Edmundo Giffoni  
Digitalização: Ademir Evandro Flores



**LOCALIZAÇÃO DA ÁREA**  
Este mapa, juntamente com o Mapa de Afloramentos e o Mapa Geológico constituem anexos do Informe de Recursos Minerais da Série Ouro - Informes Gerais N° 08, do Programa Nacional de Prospecção de Ouro, concedido e executado pela CPRM - Serviço Geológico do Brasil. Concepção programática e supervisão: Geól. Mário Farina. Coordenação nacional: Geól. Gerson Manoel Muniz dos Matos. Assistência técnica: Geól. Ricardo Gallart de Menezes.

**ESCALA 1:50.000**  
PROJEÇÃO UNIVERSAL TRANSVERSA DE MERCATOR



Geoquímica executada pelos Geólogos João Angelo Tonello e Carlos Alberto Kirchner Coordenação Técnica: Geólogos Luiz Fernando F. de Albuquerque e Sérgio José Romanini Superintendência Regional de Porto Alegre.

### LEGENDA

EM-34/22/5/6455,1/-

● - estação de amostragem de sedimentos de corrente e de concentrado de bateia

EM - sigla do coletor da amostra

34 - número de ordem da amostra coletada

22 - valor do teor de ouro em ppb da amostra de sedimentos de corrente analisada pelo laboratório Nomos S.A. Os sedimentos foram pulverizados até 200 mesh, sofrendo abertura por ensaio de fusão e dosagem por ICP. O valor -1 indica concentração abaixo do limite de detecção

5 - número de pintas de ouro identificadas com lupa binocular no laboratório da SUREG/PA. A letra N significa a não-identificação de pintas de ouro

6455,1 - valor do teor de ouro em ppb, multiplicado por 1000, da amostra de concentrado de bateia analisada pelo laboratório Nomos S.A., corrigido em relação a dois fatores: peso original da amostra e resultado analítico. Os concentrados foram pulverizados até 200 mesh, sofrendo abertura por ensaio de fusão e dosagem por absorção atômica. A sigla N significa amostra insuficiente para análise

- concentrados de bateia com mineralogia comum à maioria das amostras: ilmenita, magnetita, epidoto, granada, monzitita, turmalina, zircônia, rutilo. As siglas representam minerais destaque: pt = platina; sc = scheelite; po = potássita; bo = bornita; sbt = sulfeto de antimônio

bacia de drenagem com resultados analíticos anômalos para ouro em sedimentos de corrente

bacia de drenagem com resultados analíticos anômalos para ouro em concentrados de bateia

bacia de drenagem com resultados analíticos anômalos para ouro em concentrados de bateia e com quantidades anômalas de pintas de ouro (>7)

### CONVENÇÕES

- \* casa, escola
- estrada não pavimentada
- - - caminho
- - estrada de ferro
- drenagem
- barragem, açude
- - - área inundável
- x 311 ponto cotado

**CPRM**  
Serviço Geológico do Brasil

**PROGRAMA NACIONAL DE PROSPECÇÃO DE OURO**

- PNPO -

**PROJETO OURO RS/SC**  
Etapas II - Subárea IBARÉ

|                 |                              |               |
|-----------------|------------------------------|---------------|
| Escala 1:50.000 | Anexo III<br>Mapa Geoquímico | Agosto / 2000 |
|-----------------|------------------------------|---------------|